

بررسی ضریب تخلیه سرریزهای جانبی مایل در کانال‌های مستطیلی غیر منشوری

تورج هنر، محمود جوان و علیرضا کشاورزی^۱

چکیده

سرریزهای جانبی از جمله سازه‌های آبی می‌باشند که به طور گسترده‌ای در سیستم‌های آبیاری، زه‌کشی و فاضلاب مورد استفاده قرار می‌گیرند. در پژوهش حاضر تأثیر طول و ارتفاع تاج سرریز جانبی مایل بر ضریب تخلیه در جریان‌های زیر بحرانی، در کانال‌های منشوری و غیر منشوری مستقیم مستطیلی بررسی گردید.

بررسی نتایج ۶۷۵ آزمایش، نشان داد که ضریب تخلیه به عدد فرود در ابتدای سرریز، نسبت ارتفاع سرریز به عمق آب در ابتدای سرریز، عمق آب روی سرریز به طول سرریز، و عامل منشوری کانال بستگی دارد. در این پژوهش، بر اساس داده‌های آزمایشگاهی، مدلی ارائه شد که می‌تواند در شرایط جریان زیر بحرانی ضریب تخلیه را پیش‌بینی نماید. در نهایت، مدل ارائه شده با گزارش‌های پژوهندگان دیگر در شرایط مختلف شیب جانبی و کف مورد ارزیابی و آزمون قرار گرفت. نتایج به دست آمده در برآورد دبی سرریز، با خطای نسبی کمتر از ده درصد هم‌خوانی مناسبی را نشان داد.

واژه‌های کلیدی: سرریز جانبی مایل، ضریب تخلیه، کانال‌های غیر منشوری

مقدمه

تاکنون راه حل تحلیلی کاملی برای تعیین روابط حاکم بر سرریزهای جانبی ارائه نگردیده است. اخیراً روش‌های تقریبی بر اساس آزمایش‌های انجام شده در محدوده خاصی از تعدادی متغیر پیشنهاد گردیده است. در بیشتر موارد، این روش‌ها در محاسبه دبی سرریز با خطای زیادی همراه می‌باشند.

سرریزهای جانبی به طور گسترده‌ای برای کنترل سطح آب در سیستم‌های آبیاری و زه‌کشی، به منظور انحراف آب مازاد و حفاظت از سیل و یا کنترل سیلاب‌های شهری مورد استفاده قرار می‌گیرند.

۱. استادیاران آبیاری، دانشکده کشاورزی، دانشگاه شیراز

خطوط جریان یک شبکه فلزی تعبیه و اجرا شد. کانال فرعی به موازات کانال اصلی به طول ۱۰ متر، عرض ۰/۵۷ متر با عمق ۰/۴۰ متر، آب تخلیه شده توسط سرریز جانبی را به حوضچه انتهایی منتقل می‌نمود. از دو سرریز مثالی شکل ۹۰ درجه، که از قبل کالیبره شده بود، برای تعیین دبی کانال اصلی و فرعی (دبی سرریز جانبی) استفاده، و در هر آزمایش میزان دبی چندین بار قرائت شده، با توجه به نوسان ناچیز دبی از میانگین آن در محاسبات استفاده گردید.

در این آزمایش، عمق آب در طول کانال اصلی و نیز در مجاورت سرریز جانبی، توسط پیزومترهای کارگذاری شده بر کف کانال اصلی با دقت ۰/۵ میلی‌متر قرائت، و توسط دستگاه عمق‌سنج با دقت ۰/۱ میلی‌متر کنترل گردید.

در این پژوهش آزمایش‌ها به سه دسته اصلی، شامل یک آزمایش در کانال منشوری و دو آزمایش در کانال غیر منشوری تحت عنوان عامل منشوری، یا نسبت عرض کف بالادست (b_1) به پایین دست (b_2) کانال، به شرح زیر تقسیم شد:

شماره ۱: کانال مستطیلی شکل منشوری با $b_1/b_2=1/0.0$

شماره ۲: کانال مستطیلی شکل غیر منشوری با $b_1/b_2=1/0.21$

شماره ۳: کانال مستطیلی شکل غیر منشوری با $b_1/b_2=1/0.52$

در هر آزمایش سرریز جانبی در مقطع تبدیل با زاویه θ کارگذاری گردید (شکل ۲-الف). در این آزمایش‌ها زاویه تاج سرریز نسبت به افق (۲) نیز یکی دیگر از متغیرها است (شکل ۲-ب). این دو متغیر سرریز جانبی برای حالات مختلف دبی، ارتفاع سرریز، طول سرریز و عمق پایاب کنترل شده توسط یک دریچه کشویی انتهایی (یک حالت باز و دو حالت نیمه بسته)، در طی انجام ۶۷۵ آزمایش مورد آزمون قرار گرفتند. محدوده متغیرهای استفاده شده در آزمایش‌ها برابر جدول ۱ می‌باشد.

محاسبات آنالیز ابعادی و ارائه متغیرهای بدون بعد این امکان را فراهم می‌سازد که با دقت بیشتری عوامل مؤثر بر رفتار و روابط حاکم بر سرریزهای جانبی بررسی گردد. در جریان کانال‌های روباز پارامترهای بدون بعد به فرم عدد رینولدز، عدد فرود، عدد وبر و دیگر متغیرهای بدون بعد ارائه می‌شوند. البته

جریان در سرریزهای جانبی، تاکنون موضوع بررسی بسیاری از پژوهندگان بوده، اکثراً با انجام آزمایش‌هایی به ارزیابی روابط سرریزهای جانبی در کانال‌های مستطیلی پرداخته‌اند (۹ و ۱۶). در خصوص کانال‌های دایره‌ای شکل نیز آزمایش‌هایی در سال‌های گذشته انجام شده است (۱۱ و ۱۹)، و یا در مورد کانال‌های U شکل مطالعاتی در سال ۱۹۹۷ (۲۰) انجام گرفت، و تنها سوامی (۱۸) ضریب تخلیه را به طور المانی بررسی نمود. احتمالاً اولین رابطه تئوری در هیدرولیک سرریزهای جانبی توسط دومارچی (۶) ارائه شده است. بیشتر بررسی‌های انجام شده در زمینه کانال‌های مستطیل شکل در شرایط زیر بحرانی و فوق بحرانی در کانال‌های منشوری بوده است.

در کنار سرریزهای جانبی، عمق آب در طول مسیر متغیر است. در جریان‌های زیر بحرانی سطح آب در طول کانال اصلی افزایش یافته (۷، ۸ و ۱۲)، در صورتی که در حالت فوق بحرانی عکس این حالت اتفاق می‌افتد، و یا در حالتی که جریان بالادست زیر بحرانی و در طول سرریز جانبی فوق بحرانی باشد، عمق آب به کمتر از عمق بحرانی در بالادست سرریز کاهش می‌یابد (۱۷).

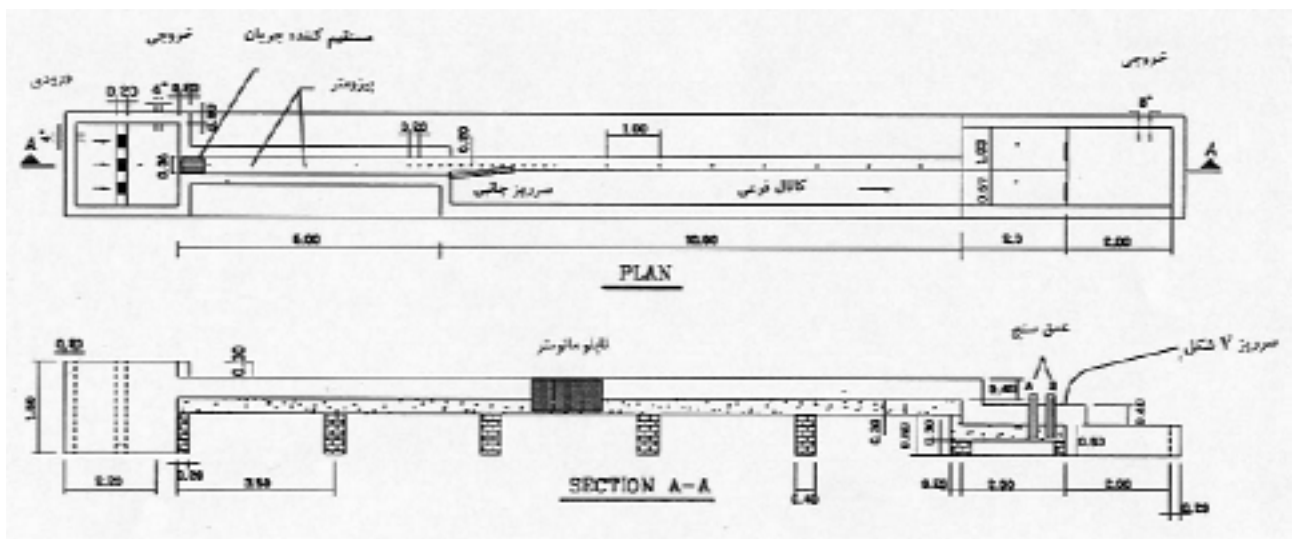
تاکنون در باره سرریزهای جانبی مایل پژوهشی صورت نپذیرفته است. بنابراین، در این مقاله ضریب تخلیه در سرریزهای مایل و تخت در شرایط غیر منشوری و منشوری، از طریق مدل فیزیکی و انجام آزمایش‌ها مورد بررسی قرار گرفته و مدل مناسب ارائه گردیده است.

مواد و روش‌ها

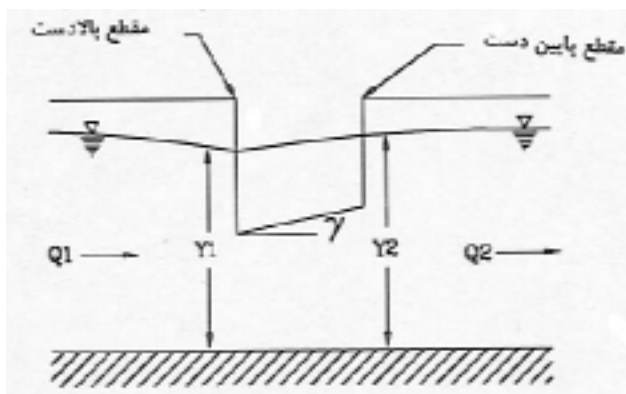
عملیات آزمایشگاهی در آزمایشگاه هیدرولیک بخش آبیاری دانشگاه شیراز انجام پذیرفت. همان گونه که در شکل ۱ دیده می‌شود، آزمایش در یک کانال مستطیلی به عرض ۰/۳۵ متر و شیب کف ۱/۰ در هزار انجام گرفت. طول کانال از محل ورودی تا ابتدای سرریز جانبی ۵ متر و فاصله ابتدای سرریز جانبی تا انتهای کانال اصلی ۱۰ متر تعیین گردید. هم‌چنین، در ابتدای کانال اصلی، به منظور آرام نمودن جریان و منظم نمودن

جدول ۱. محدوده مقادیر مختلف متغیرهای استفاده شده در آزمایش‌ها

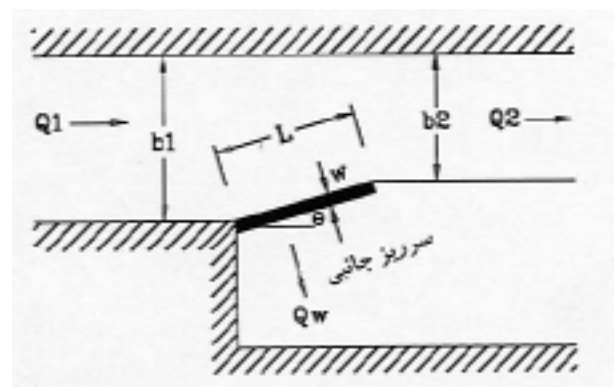
متغیر	عامل منشوری	طول سرریز	ارتفاع متوسط	شیب کف	دبی ورودی	عدد فرود	شیب تاج	پهنای تاج سرریز
مقدار	کانال (b_1/b_2)	جانبی (متر)	سرریز (متر)	کانال (%)	(لیتر در ثانیه)	بالادست	سرریز (%)	جانبی (متر)
	۱، ۱/۲۱، ۱/۵۲	۰/۴، ۰/۸، ۱/۲	۰/۰۷-۰/۱۸	۰/۱	۱۶-۴۰	۰/۱۴-۰/۷۲	۰/۸۸-۲/۸۶	۰/۰۴



شکل ۱. نمای شماتیک از مدل فیزیکی ساخته شده



(ب)



(الف)

شکل ۲. نمایی از محل کارگذاری سرریز جانبی: الف) پلان و ب) پروفیل

Fr_{10} , Fr_1 , Fr_2 , P_1/Y_2 , P_1/Y_1 , $(Y_1-P_1)/L$, $(Y_1-P_1)/w$, $(Y_1-P_1)/P_1$, $(Y_1-P_1)/Y_1$, P_2/Y_2 , P_2/Y_1 , $(Y_2-P_2)/L$, $(Y_2-P_2)/w$, $(Y_2-P_2)/P_2$, $(Y_2-P_2)/Y_2$, L/Y_1 , L/Y_2 , L/b_1 , L/b_2 , b_1/Y_1 , b_2/Y_2 , Y_1/Y_2 , V_1/V_2 , b_1/b_2 , R , R_c , W_n , γ

پس از تعیین متغیرهای بدون بعد، توسط روش رگرسیون گام به گام (Stepwise regression) متغیرهای مؤثر انتخاب گردیدند. در این روش متغیرهای بدون بعد که سطح احتمال آنها در آزمون تی (T-test) کمتر یا برابر سطح معنی دار ۰/۱ باشد

اصول پایه مدل‌های فیزیکی و آنالیز متغیرهای بدون بعد توسط پژوهندگان دیگر نیز بررسی گردیده است (۲، ۱۲، ۱۴ و ۱۵). بر پایه تئوری باکینگهام (Buckingham) (۲۱) n متغیر را می‌توان در $n-k$ دسته بدون بعد طبقه‌بندی نمود، که در این حالت k تعداد بعد پایه در سیستم ابعادی می‌باشد. متغیرهای بدون بعد حاصل شده از نظریه باکینگهام و فرضیات دیگر عبارتند از:

پژوهش حاضر، بر اساس روش انتگرال گیری عددی سیمسون، که از دقت بیشتری برخوردار است، پارامتر عمق آب روی تاج سرریز محاسبه گردید. با در نظر گرفتن رابطه ۱ در خصوص محاسبه دبی سرریز (۵)، پارامتر h_m از روش انتگرال گیری عددی سیمسون به شکل زیر قابل محاسبه می باشد.

$$dQ = \frac{2}{3} C_d \sqrt{2g} (h)^{3/2} dx \quad [1]$$

$$h_m = \int_a^b h(x)^{1.5} dx \cong \frac{(b-a)}{3} [f(a) + f(b) + 4 \sum_{i=1}^n f_{2i-1} + 2 \sum_{i=1}^{n-1} f_{2i}] \quad [2]$$

در رابطه ۲، a و b به ترتیب حد پایین و بالای انتگرال، n زیر فاصله و f تابع زیر انتگرال می باشند. همچنین، مقادیر $h_a \dots h_b$ یا ارتفاع آب روی تاج سرریز در طول سرریز جانبی، با فاصله های ۰/۲ متری اندازه گیری و استفاده گردید. اکنون با انتگرال گیری از رابطه ۱ و استفاده از رابطه ۲، مقدار ضریب تخلیه (C_d) از رابطه ۳ تعیین، و این ضریب که به عنوان متغیر وابسته در روابط رگرسیونی می باشد، محاسبه می گردد.

$$C_d = \frac{Q_w}{\frac{2}{3} \sqrt{2g} h_m} \quad [3]$$

لازم به یادآوری است که در این پژوهش برای حذف عوامل کشش سطحی از توصیه هگر (۱۰)، مبنی بر شرط $(h-P) > 0.03$ متر استفاده شده است. همچنین، برای ارزیابی روابط پیشنهادی مقادیر خطای نسبی برآورد، از رابطه ۴ برای مقادیر ضریب تخلیه و دبی سرریز جانبی استفاده شده است. در این رابطه X_o و X_m به ترتیب متغیر مشاهده شده، متغیر محاسبه شده و تعداد داده ها می باشند.

$$RE = \frac{100}{N} \sum_{i=1}^N \left| \frac{X_o - X_m}{X_o} \right| \quad [4]$$

ضریب تخلیه سرریز جانبی

برای برآورد ضریب تخلیه سرریز جانبی، با توجه به داده های آزمون های مختلف، مدل های رگرسیونی تعیین گردید. در این

وارد مدل، و مقادیر با سطح معنی دار ۰/۲ از مدل خارج می شوند. در این مرحله توسط ماتریس همبستگی (Correlation matrix) و عامل تورم واریانس (Variance inflation factor)، میزان همراستایی (Multicollinearity) (۱۳) بررسی، و انتخاب متغیر بدون بعد بر اساس بررسی ماتریس همبستگی و عامل تورم واریانس بر اساس فرضیه های زیر و استفاده از نرم افزار دیتافیت (DataFit) نگارش ۷/۱ انجام گردید:

بررسی ماتریس همبستگی

اگر قدر مطلق ضریب هم بستگی بیشتر از ۰/۸ باشد گویای همبستگی دو متغیر است، که یکی از متغیرها می بایست حذف گردد.

بررسی مقادیر عامل تورم واریانس

اگر مقدار عامل تورم بیشتر از ۱۰ باشد، بیانگر همراستایی زیاد و ایجاد مشکل است، که می بایست این متغیر از این مرحله محاسبات حذف شود (۱۳).

با مشخص شدن متغیرهای بدون بعد مؤثر، مدل مناسب بر اساس حداقل مقدار مجموع مربعات باقی مانده (Residual sum of squares) انتخاب گردید.

نتایج و بحث

پس از طبقه بندی داده های جمع آوری شده، هر کدام از سه آزمایش به دو سری آزمون بدون کنترل در پایین دست (انتها باز) و با کنترل در پایین دست یا انتها نیمه بسته (که توسط دریچه کشویی انتهایی قابل کنترل است) تقسیم گردید، و محاسبات و تحلیل ها به طور مجزا برای هر آزمایش و آزمون انجام پذیرفت، سپس بدون در نظر گرفتن حالت منشوری کانال، برای آزمون های بدون کنترل در پایین دست و با کنترل در پایین دست، و همچنین برای کل آزمایش ها بدون در نظر گرفتن حالت منشوری و وضعیت پایاب کانال، محاسبات تکرار گردید.

بیشتر پژوهندگان از جمله باس (۴) با فرض خطی بودن رابطه سطح آب، مدل های خود را ارائه، و برای ساده کردن از میانگین عمق آب روی تاج سرریز (h) استفاده نمودند. در

انتهای سرریز جانبی (P_1/Y_2) می‌باشد.

$$C_d = \frac{a}{1 + b(Fr_1) + c(Fr_1)^2}; a = 0.379, b = -0.918, \\ c = 0.676 \quad [SE = 0.0259, Re = 3.972] \quad [V]$$

$$C_d = \frac{a}{1 + b\left(\frac{P_1}{Y_2}\right) + c\left(\frac{P_1}{Y_2}\right)^2}; a = 0.379, b = -1.238, \\ c = 1.194 \quad [SE = 0.0217, Re = 3.228] \quad [A]$$

در شکل‌های ۵ و ۶ نتایج بررسی آماری آزمایش شماره ۲ نشان داده شده است.

آزمایش شماره ۳ در کانال غیر منشوری ($b_1/b_2=1/0.52$) انجام پذیرفت. نتایج نشان می‌دهد که ضریب تخلیه در حالت بدون کنترل در پایین‌دست تابعی از نسبت عمق آب روی تاج سرریز در ابتدای سرریز جانبی به عرض سرریز جانبی یا $(Y_1-P_1)/w$ ، و زاویه تاج سرریز نسبت به افق (γ)، و در حالت با کنترل در پایین‌دست تابعی از عمق آب روی تاج سرریز به ارتفاع سرریز در انتهای سرریز جانبی یا $(Y_2-P_2)/P_2$ و γ است. بر اساس حداقل مقدار مجموع مربعات خطا، به ترتیب رابطه ۹ و ۱۰ برای تخمین ضریب تخلیه در دو حالت بدون کنترل در پایین‌دست و با کنترل در پایین‌دست حاصل گردیده است.

$$C_d = a + \frac{b}{\left(\frac{Y_1 - P_1}{w}\right)} + \frac{c}{\left(\frac{Y_1 - P_1}{w}\right)^2} + \frac{d}{\left(\frac{Y_1 - P_1}{w}\right)^3} + \\ e(\gamma) + f(\gamma)^2 + g(\gamma)^3 \\ a = 1.082, b = -1.764, c = 1.862, d = -0.654, e = 0.013, \\ f = 0.020, g = -0.008 \quad [SE = 0.0222, RE = 2.758] \quad [9]$$

$$C_d = a + b \ln\left(\frac{Y_2 - P_2}{P_2}\right) + c \ln\left(\frac{Y_2 - P_2}{P_2}\right)^2 + d \ln(\gamma) \\ + e \ln(\gamma)^2 + f \ln(\gamma)^3 + g \ln(\gamma)^4 \\ a = 0.605, b = 0.080, c = 0.042, d = -0.012, e = -0.012, \\ f = -0.014, g = -0.003 \quad [SE = 0.0169, RE = 2.213] \quad [10]$$

روابط ضرایب ثابت از یکدیگر مستقل می‌باشند، و انتخاب متغیرها تنها بر اساس ضوابط آماری و معنی‌دار بودن متغیر انجام پذیرفته است.

پس از انجام محاسبات و تحلیل آماری، نتایج آزمایش شماره ۱ در آزمون کانال بدون کنترل در پایین‌دست مشخص گردید، که ضریب تخلیه تابعی است از نسبت ارتفاع سرریز در ابتدای سرریز جانبی به عمق آب کانال در انتهای سرریز جانبی یا P_1/Y_2 ، و رابطه مناسب بر اساس حداقل مربعات خطا به صورت رابطه ۵ می‌باشد.

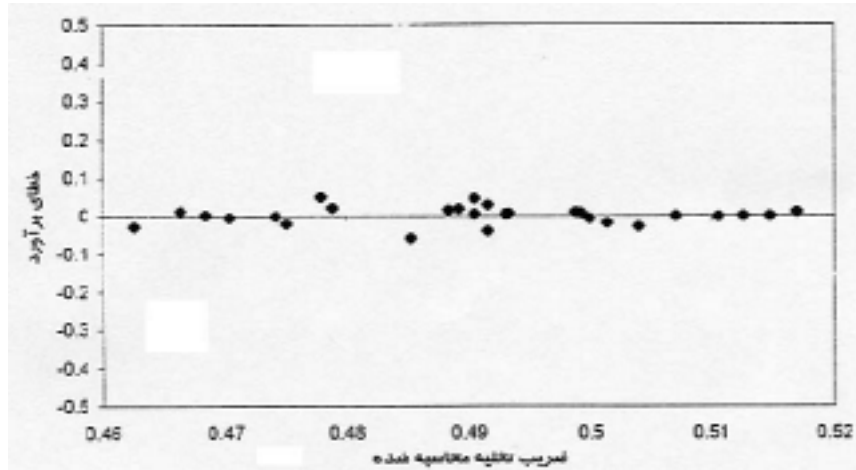
$$C_d = \frac{a}{1 + b\left(\frac{P_1}{Y_2}\right) + c\left(\frac{P_1}{Y_2}\right)^2}; a = 0.370, b = -1.093, \\ c = 1.052 \quad [SE = 0.0243, Re = 3.457] \quad [5]$$

همچنین، رابطه مناسب برای آزمایش شماره ۱ در آزمون کانال با کنترل در پایین‌دست به صورت رابطه ۶ و تابعی از نسبت ارتفاع سرریز به عمق آب کانال در انتهای سرریز جانبی (P_2/Y_2) تعیین گردید.

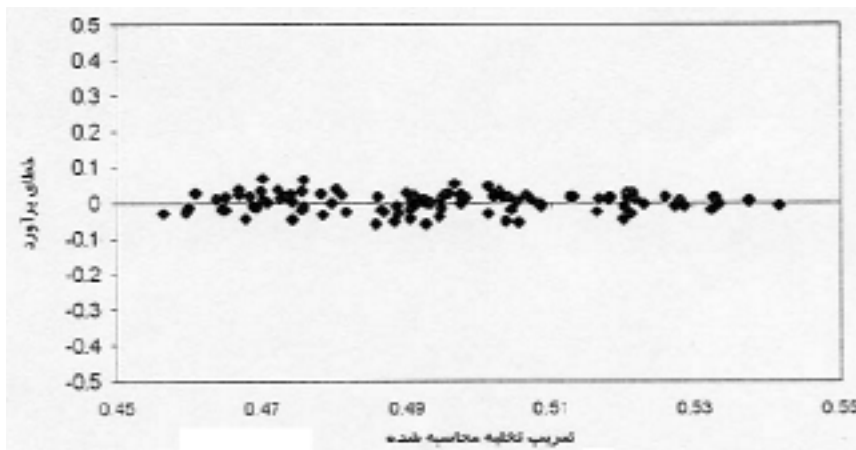
$$C_d = \frac{a}{1 + b\left(\frac{P_2}{Y_2}\right) + c\left(\frac{P_2}{Y_2}\right)^2}; a = 0.472, b = -0.642, \\ c = 0.798 \quad [SE = 0.0258, Re = 4.207] \quad [6]$$

همان‌طور که در شکل‌های ۳ و ۴ دیده می‌شود، تغییرات C_d محاسبه شده در مقابل خطای برآورد (تفاوت C_d محاسبه شده و مشاهده شده) قابل قبول بوده و در محدوده اطراف خط افقی صفر قرار دارد.

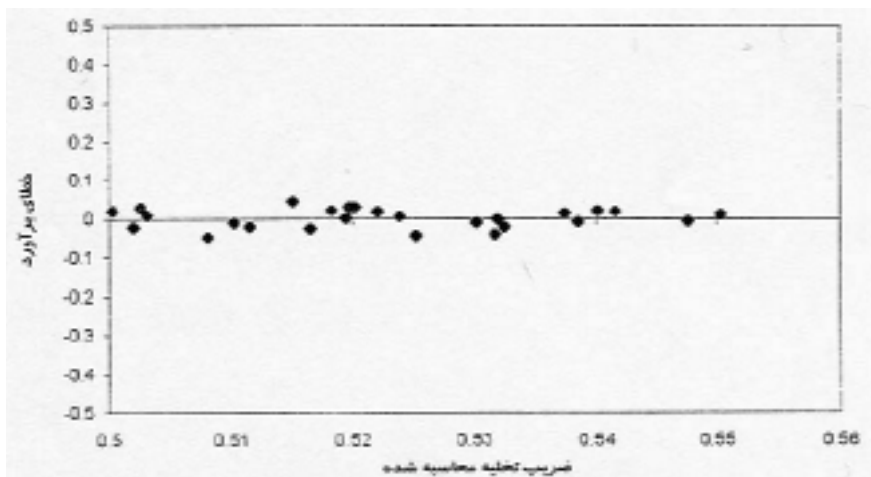
آزمون شماره ۲ در کانال مستطیلی غیر منشوری ($b_1/b_2=1/21$) انجام پذیرفت. نتایج محاسبات آماری برای دو سری آزمون بدون کنترل در پایین‌دست (رابطه ۷) و با کنترل در پایین‌دست (رابطه ۸) نشان می‌دهد که در حالت بدون کنترل در پایین‌دست، ضریب تخلیه تابعی از عدد فرود در ابتدای سرریز جانبی (Fr_1)، و آزمون با کنترل در پایین‌دست تابعی از نسبت ارتفاع سرریز در ابتدای سرریز جانبی به عمق آب کانال در



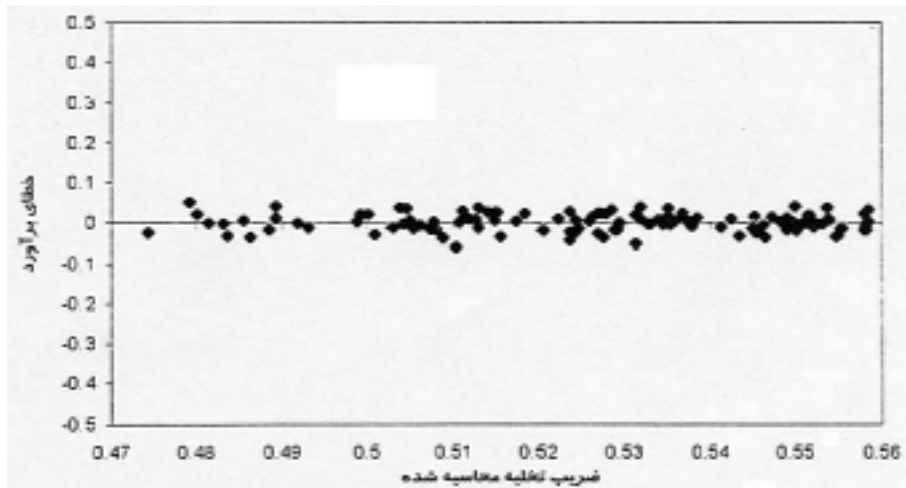
شکل ۳. مقایسه مقادیر خطای برآورد در مقابل ضریب تخلیه محاسبه شده در آزمون بدون کنترل در پایین دست شماره ۱



شکل ۴. مقایسه مقادیر خطای برآورد در مقابل ضریب تخلیه محاسبه شده در آزمون با کنترل در پایین دست شماره ۱



شکل ۵. مقایسه مقادیر خطای برآورد در مقابل ضریب تخلیه محاسبه شده در آزمون بدون کنترل در پایین دست شماره ۲



شکل ۶. مقایسه مقادیر خطای برآورد در مقابل ضریب تخلیه محاسبه شده در آزمون با کنترل در پایین دست شماره ۲

شکل‌های ۷ و ۸ نشان دهنده تغییرات ضریب تخلیه محاسبه شده در مقابل مقادیر خطای برآورد در دو حالت بدون کنترل در پایین دست و با کنترل در پایین دست می‌باشند.

$$C_d = a \left(\frac{b_1}{b_2} \right) + b \left(\frac{Y_1 - P_1}{Y_1} \right) + c(\gamma) + d;$$

$$a = 0.097, b = 0.235, c = 0.004, d = 0.327$$

$$[SE = 0.0259, RE = 3.96] \quad [12]$$

پس از انجام بررسی‌های آماری به صورت مجزا برای هر آزمایش و آزمون، محاسبات آماری به صورت کلی برای آزمون‌های بدون کنترل در پایین دست و با کنترل در پایین دست، و در نهایت کل آزمون‌ها بدون در نظر گرفتن شرایط انتهایی و منشوری انجام پذیرفت. نتایج محاسبات آماری آزمون‌های بدون کنترل در پایین دست در آزمایش‌های ۱، ۲ و ۳ نشان می‌دهد که ضریب تخلیه تابعی است از مقادیر عامل منشوری (b_1/b_2) ، عدد فرود در ابتدای سرریز (Fr_1) ، نسبت عمق آب روی تاج سرریز در ابتدای سرریز جانبی به طول سرریز جانبی یا $(Y_1 - P_1)/L$ ، و نسبت عمق آب روی تاج سرریز جانبی به عرض سرریز جانبی یا (P_1/Y_1) ، و نیز نسبت عمق آب روی سرریز در ابتدای سرریز جانبی به طول سرریز یا $(Y_1 - P_1)/L$.

$$C_d = a \left(\frac{b_1}{b_2} \right) + b(Fr_1) + c \left(\frac{P_1}{Y_1} \right) + d \left(\frac{Y_1 - P_1}{L} \right) + e;$$

$$a = 0.104, b = 0.049, c = -0.151, d = 0.079, e = 0.475$$

$$[SE = 0.0266, RE = 7.05] \quad [13]$$

در شکل‌های ۹ تا ۱۱ مقادیر ضریب تخلیه محاسبه شده توسط مدل با مقادیر خطای برآورد مقایسه گردیده است. چنان که در سه رابطه اخیر مشاهده می‌گردد میزان خطای

پس از انجام بررسی‌های آماری به صورت مجزا برای هر آزمایش و آزمون، محاسبات آماری به صورت کلی برای آزمون‌های بدون کنترل در پایین دست و با کنترل در پایین دست، و در نهایت کل آزمون‌ها بدون در نظر گرفتن شرایط انتهایی و منشوری انجام پذیرفت. نتایج محاسبات آماری آزمون‌های بدون کنترل در پایین دست در آزمایش‌های ۱، ۲ و ۳ نشان می‌دهد که ضریب تخلیه تابعی است از مقادیر عامل منشوری (b_1/b_2) ، عدد فرود در ابتدای سرریز (Fr_1) ، نسبت عمق آب روی تاج سرریز در ابتدای سرریز جانبی به طول سرریز جانبی یا $(Y_1 - P_1)/L$ ، و نسبت عمق آب روی تاج سرریز جانبی به عرض سرریز جانبی یا $(Y_2 - P_2)/w$ ، و رابطه آن به صورت زیر می‌باشد.

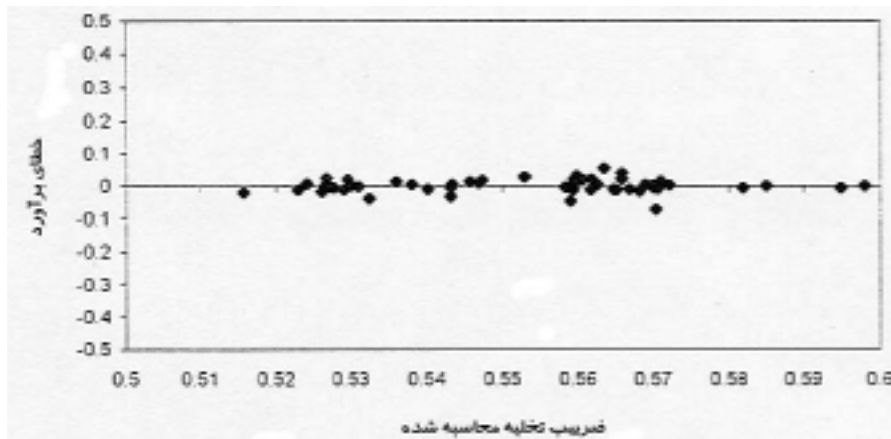
پس از انجام بررسی‌های آماری به صورت مجزا برای هر آزمایش و آزمون، محاسبات آماری به صورت کلی برای آزمون‌های بدون کنترل در پایین دست و با کنترل در پایین دست، و در نهایت کل آزمون‌ها بدون در نظر گرفتن شرایط انتهایی و منشوری انجام پذیرفت. نتایج محاسبات آماری آزمون‌های بدون کنترل در پایین دست در آزمایش‌های ۱، ۲ و ۳ نشان می‌دهد که ضریب تخلیه تابعی است از مقادیر عامل منشوری (b_1/b_2) ، عدد فرود در ابتدای سرریز (Fr_1) ، نسبت عمق آب روی تاج سرریز در ابتدای سرریز جانبی به طول سرریز جانبی یا $(Y_1 - P_1)/L$ ، و نسبت عمق آب روی تاج سرریز جانبی به عرض سرریز جانبی یا $(Y_2 - P_2)/w$ ، و رابطه آن به صورت زیر می‌باشد.

$$C_d = a \left(\frac{b_1}{b_2} \right) + b(Fr_1) + c \left(\frac{Y_1 - P_1}{L} \right) + d \left(\frac{Y_2 - P_2}{w} \right) + e$$

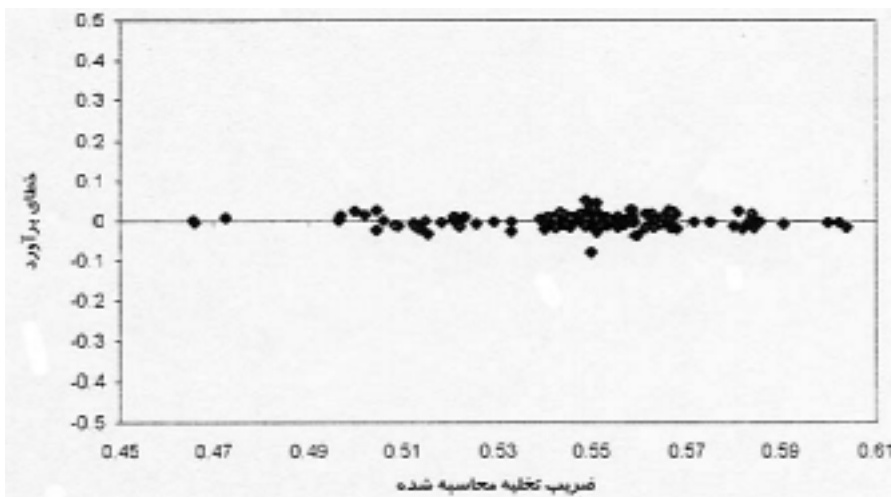
$$a = 0.149, b = 335, c = 0.804, d = -0.081, e = 0.207$$

$$[SE = 0.0257, RE = 3.82] \quad [11]$$

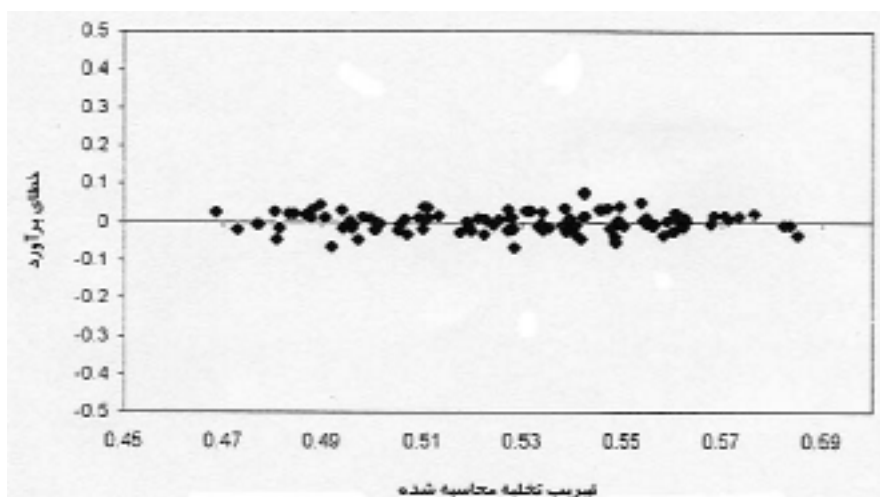
ضریب تخلیه برای آزمون‌های با کنترل در پایین دست در کل آزمایش‌ها، تابعی است از مقادیر عامل منشوری (b_1/b_2) ، نسبت عمق آب روی تاج سرریز به عمق آب کانال در ابتدای



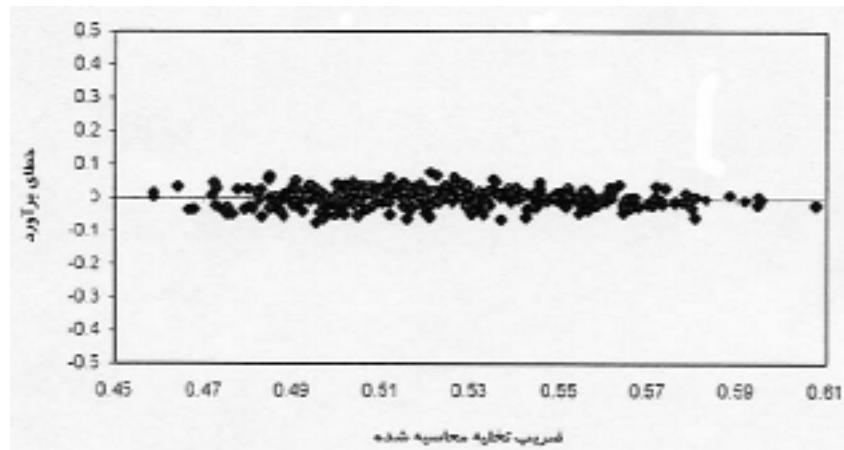
شکل ۷. مقایسه مقادیر خطای برآورد در مقابل ضریب تخلیه محاسبه شده در آزمون بدون کنترل در پایین دست شماره ۳



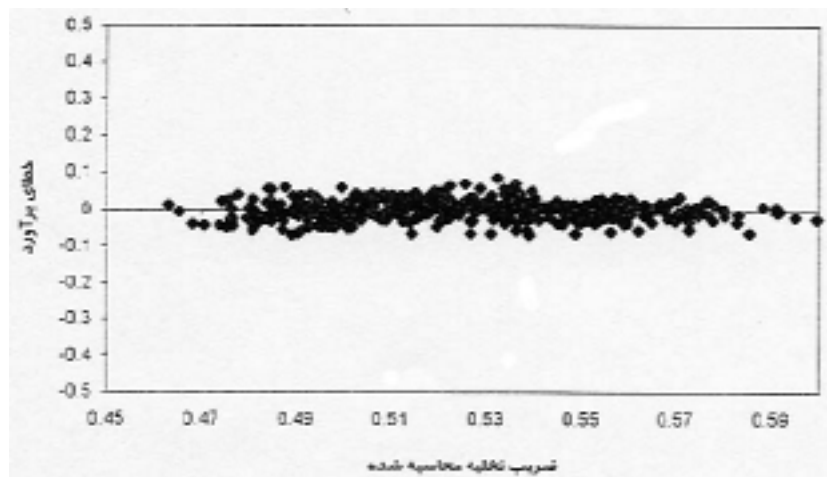
شکل ۸. مقایسه مقادیر خطای برآورد در مقابل ضریب تخلیه محاسبه شده در آزمون با کنترل در پایین دست شماره ۳



شکل ۹. مقایسه مقادیر خطای برآورد در مقابل ضریب تخلیه محاسبه شده در آزمون‌های بدون کنترل در پایین دست



شکل ۱۰. مقایسه مقادیر خطای برآورد در مقابل ضریب تخلیه محاسبه شده در آزمون‌های با کنترل در پایین‌دست



شکل ۱۱. مقایسه مقادیر خطای برآورد در مقابل ضریب تخلیه محاسبه شده در کلیه آزمایش‌ها

فراروئی (۱) اقدام به ارزیابی مدل ارائه شده گردید.

الف) ارزیابی مدل بر اساس گزارش برقی و همکاران (۳) برقی و همکاران (۳) آزمایش‌های خود را در یک فلوم شیشه‌ای مستطیلی شکل منشوری به طول ۱۲ متر، عرض ۰/۳ متر با عمق ۰/۵ متر انجام دادند. در این آزمایش ضریب تخلیه در سرریز جانبی لبه تیز تخت مورد بررسی قرار گرفت. محدوده داده‌های استفاده شده در این پژوهش در جدول ۲ ارائه گردیده است.

محاسبات انجام شده روی داده‌های برقی و همکاران (۳) نشان داد که میزان خطای نسبی در برآورد دبی سرریز جانبی

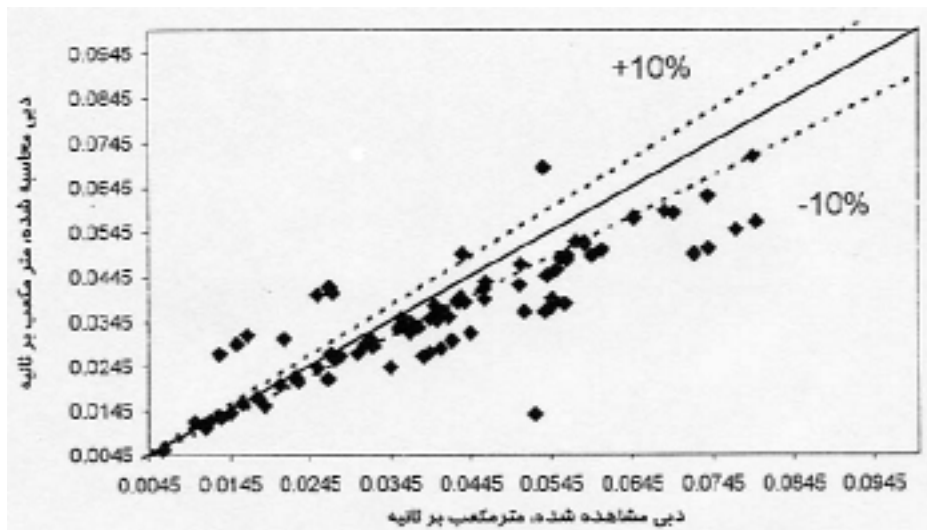
نسبی در برآورد ضریب تخلیه در آزمون‌های بدون کنترل در پایین‌دست و با کنترل در پایین‌دست کمتر از $4/2\%$ و در کل برابر $7/05\%$ می‌باشد. ضریب تخلیه تابعی است از عوامل منشوری کانال یعنی نسبت عرض کانال بالادست به پایین‌دست (b_1/b_2) که تاکنون در پژوهش‌های دیگر به آن توجه نگردیده است.

ارزیابی مدل با گزارش‌های پژوهندگان دیگر

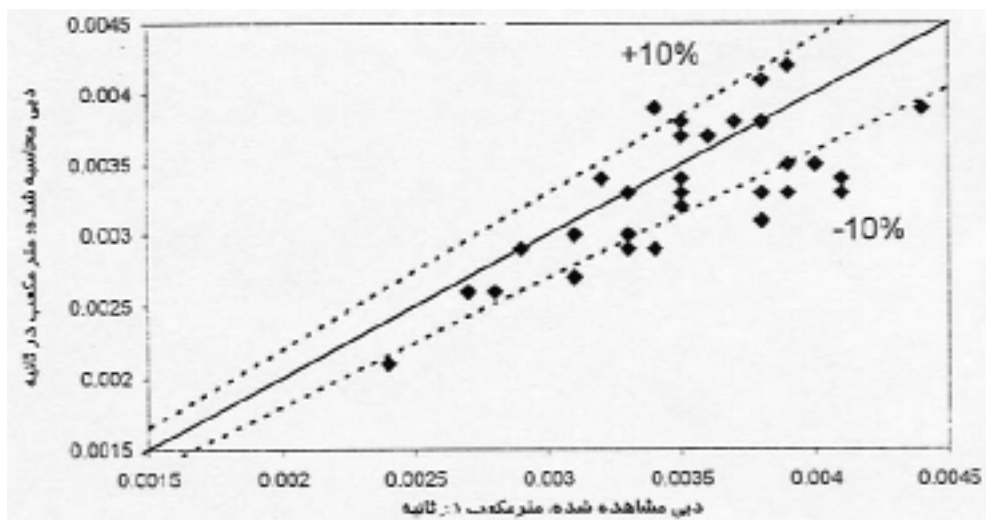
یک روش برای ارزیابی مدل، استفاده از داده‌های پژوهندگان دیگر، و مقایسه نتایج واقعی با مقادیر شبیه‌سازی شده است. در این بخش با استفاده از اطلاعات برقی و همکاران (۳) و

جدول ۲. محدوده مقادیر استفاده شده در پژوهش برقی و همکاران (۳)

متغیر	طول سرریز (سانتی متر)	ارتفاع سرریز (سانتی متر)	شیب کف (%)	دبی (لیتر بر ثانیه)	عدد فرود	تعداد آزمایش ها
مقدار	۲۰، ۳۰، ۴۵، ۷۰	۱، ۱۰، ۱۹	۰، ۰/۵، ۱، ۰/۵	۳۵-۱۰۰	۰/۱-۰/۹	۲۵۳



شکل ۱۲. مقایسه مقادیر دبی مشاهده شده و محاسبه شده بر اساس اطلاعات برقی و همکاران (۳) با استفاده از رابطه ۵



شکل ۱۳. مقایسه مقادیر دبی مشاهده شده و محاسبه شده بر اساس اطلاعات فرارویی (۱) با استفاده از رابطه ۶

گویای قابلیت مدل در تخمین ضریب آبدهی در سرریزهای لبه تیز می باشد.

ب) ارزیابی مدل بر اساس گزارش پژوهش صحرایی فرارویی (۱) آزمایش های فرارویی (۱) در یک کانال دوزنقه ای سیمانی (انتها بسته) با مقادیر مختلف شیب جانبی (1:0, 1:0.5, 1:1, 1:1.5)، با

برابر ۷/۸٪ است. هم چنین، مقایسه مقادیر مشاهده شده در نمودار ۱۲ ارائه گردیده است. همان گونه که مشاهده می گردد، در دبی های کمتر تطابق بیشتری میان مقادیر دبی محاسبه و مشاهده شده وجود دارد، و با افزایش دبی، مقادیر دبی محاسبه شده نسبت به مقادیر واقعی کاهش می یابد. در کل، با توجه به این که بیشتر نقاط در محدود $\pm 10\%$ قرار دارند، این مقادیر

است. همچنین، نتایج نشان می‌دهد که ضریب تخلیه در شرایط بدون کنترل در پایین دست به ارتفاع آب روی سرریز در بالادست و پایین دست سرریز جانبی، و در شرایط با کنترل در پایین دست، تنها به ارتفاع آب روی سرریز در بالادست بستگی دارد، و نیز در شرایط غیر منشوری این ضریب به عامل منشوری کانال (b_1/b_2) وابسته است. بنابراین، توصیه می‌گردد که:

۱. در شرایط کانال‌های منشوری بدون کنترل در پایین دست از رابطه ۵ و با کنترل در پایین دست از رابطه ۶ استفاده شود.
۲. در شرایط کانال‌های منشوری و یا غیر منشوری بدون کنترل در پایین دست از رابطه ۱۱ و با کنترل در پایین دست از رابطه ۱۲ استفاده گردد.
۳. در شرایط عمومی استفاده از رابطه ۱۳ از دقت خوبی برخوردار است.

عرض کف ثابت $0/4$ متر انجام پذیرفت. ارتفاع سرریز لبه پهن در هر مقطع به طور ثابت برابر $0/3$ متر بوده است. نتایج محاسبات آماری نشان می‌دهد که خطای نسبی در برآورد دبی سرریز برای مقادیر مختلف شیب جانبی برابر $9/16\%$ می‌باشد. همچنین، در نمودار ۱۳ مقایسه مقادیر دبی مشاهده‌ای با محاسبه شده ارائه گردیده است، که پراکندگی آن و قرار گرفتن بیشتر نقاط در محدوده $\pm 10\%$ گویای قابل اعتماد بودن استفاده از مدل ارائه شده در کانال‌هایی با شیب‌های جانبی مختلف می‌باشد.

نتیجه گیری

نتایج ارزیابی مدل در دو سری از اطلاعات مستقل در کانال مستطیلی با سرریز لبه تیز و سرریز لبه پهن در یک کانال دوزنقه‌ای با شیب‌های جانبی متفاوت، نشان دهنده انعطاف و قابل استفاده بودن مدل سرریز جانبی مایل در شرایط مختلف

نمادها

نماد	توضیح	نماد	توضیح
Q_1	دبی کانال در بالادست سرریز	Fr_2	عدد فرود در انتهای سرریز جانبی
Q_2	دبی کانال در پایین دست سرریز	P_1	ارتفاع سرریز در ابتدای سرریز جانبی
C_d	ضریب تخلیه سرریز جانبی	P_2	ارتفاع سرریز در انتهای سرریز جانبی
w	عرض سرریز جانبی	Y_1	عمق آب کانال در ابتدای سرریز جانبی
h	ارتفاع آب روی سرریز جانبی	Y_2	عمق آب کانال در انتهای سرریز جانبی
L	طول سرریز جانبی	b_1	عرض کانال در ابتدای سرریز جانبی
Q_w	دبی سرریز جانبی	b_2	عرض کانال در انتهای سرریز جانبی
X_o	متغیر مشاهده شده	SE	خطای استاندارد
X_m	متغیر محاسبه شده	RE	خطای برآورد (%)
θ	زاویه تنگ شدگی	R	شعاع هیدرولیکی
γ	زاویه تاج سرریز نسبت به افق	R_e	عدد رینولدز
Fr_u	عدد فرود در بالادست سرریز جانبی	W_n	عدد وبر
Fr_l	عدد فرود در ابتدای سرریز جانبی	g	شتاب ثقل
V_1	سرعت متوسط کانال در بالادست سرریز	V_2	سرعت متوسط کانال در پایین دست سرریز
a	حد پایین انتگرال در روش حل عددی سیمسون	b	حد بالای انتگرال در روش حل عددی سیمسون
n	زیر فاصله در روش حل عددی سیمسون	f	تابع انتگرال در روش حل عددی سیمسون
h_m	پارامتر وابسته عمق آب روی تاج سرریز جانبی	a....g	ضرایب ثابت روابط برآورد ضریب تخلیه سرریز جانبی

منابع مورد استفاده

۱. فرارویی، م. ۱۳۷۹. بررسی هیدرولیک جریان و اصلاح ضریب تخلیه سرریز جانبی تحت تأثیر شیب دیواره در بالادست. پایان‌نامه کارشناسی ارشد، دانشکده کشاورزی، دانشگاه شیراز.
2. Allen, J. W. 1947. Scale Models in Hydraulic Engineering. Longmans, Green and Co., London.
3. Borghei, M. S., M. R. Jalili and M. Ghodsian. 1999. Discharge coefficient for sharp-crested side weir in subcritical flow. *J. Hydr. Eng.*, ASCE 125(10): 1051-1056.
4. Bos, M. G. F. 1989. Discharge measurement structures. Int. Inst. For Land Reclamation and Improvement. Pub. 20, Wageningen, The Netherlands.
5. Chow, V. T. 1959. Open Channel Hydraulics. McGraw Hill, New York.
6. De Marchi, G. 1934. Saggio di teoria di funzionamento degli stramazzi laterali. *L'Energia Electricia* 11: 849-870 (cited in Chow, 1959).
7. El Khashab, A. M. M. 1975. Hydraulics of flow over side weirs. Ph.D. Thesis, The University of Southampton, Southampton, England.
8. El Khashab, A. M. M. and K. V. H. Smith. 1976. Experimental investigation of flow over side weirs. *J. Hydr. Eng.*, ASCE 102(9): 1255-1268.
9. Frazer, W. 1954. The behavior of side weirs in prismatic rectangular channels. Ph.D. Thesis, Glasgow University, UK.
10. Hager, W. H. 1987. Lateral outflow over side weirs. *J. Hydr. Eng.*, ASCE 113(4): 491-504.
11. Hager, W. H. 1987. Discussion of flow over side weir in circular channels. *J. Hydr. Eng.*, ASCE 113(5): 685-688.
12. Hughes, S. A. 1993. Physical Models and Laboratory Techniques in Coastal Engineering. World Scientific Publishing Co. Pty Ltd., London.
13. Jobson, J. D. 1991. Applied Multivariate Data Analysis, Vol. I: Regression and Experimental Design. Springer-Verlag, New York.
14. Lanhaar, H. L. 1951. Dimensional Analysis and Theory of Models. John Wiley and Sons, New York.
15. Martins, R. 1988. Recent Advances in Hydraulic Physical Modeling. Klumer Academic Publishers, London.
16. Ranga Raju, K. G., B. Parasad and S. K. Gupta. 1979. Side weir in rectangular channel. *J. Hydr. Eng.*, ASCE 113(2): 98-105.
17. Smith, K. V. H. 1973. Computer programming for flow over side weir. *J. Hydr. Eng.*, ASCE 99(3): 495-508.
18. Swamme, P. K., S. K. Pathak, M. Mohan, S. K. Agrawal and M. S. Ali. 1994. Subcritical flow over rectangular side weir. *J. Hydr. Eng.*, ASCE 120(1): 212-217.
19. Uyumaz, A. 1982. Theoretical and experimental investigations of flow over side weirs, Ph. D. Thesis, Istanbul Tech. Univ., Istanbul, Turkey. (sited in Uyumaz, 1997).
20. Uyumaz, A. 1997. Side weir in U-shaped channels *J. Hydr. Eng.*, ASCE 123(7): 639-646.
21. Vennard, J. K. and R. L. Streeter. 1982. Elementary Fluid Mechanics. John Wiley & Sons, New York.